

Fig.1C

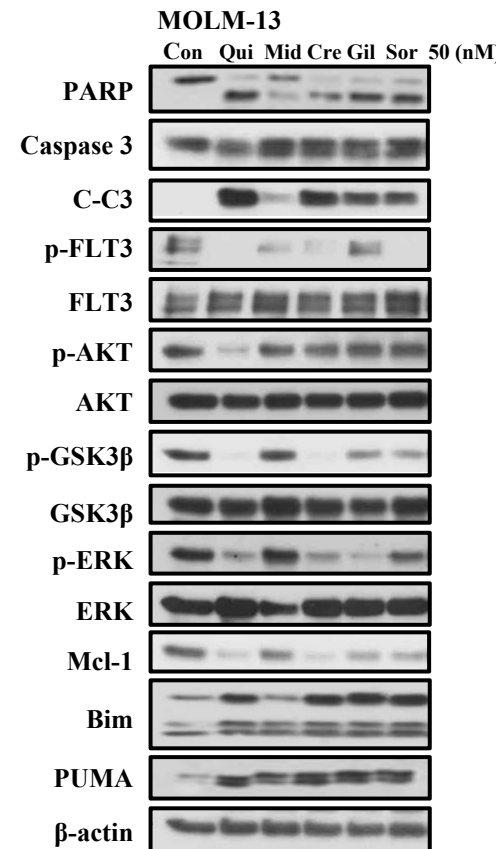


Fig.1C

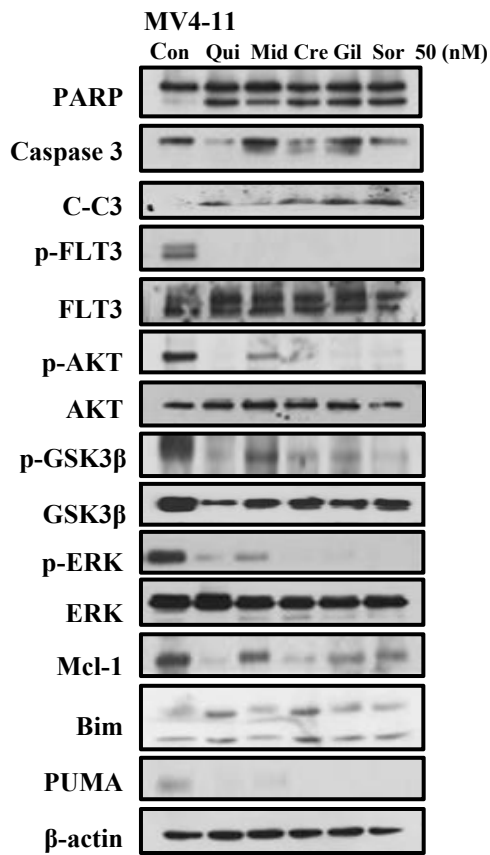
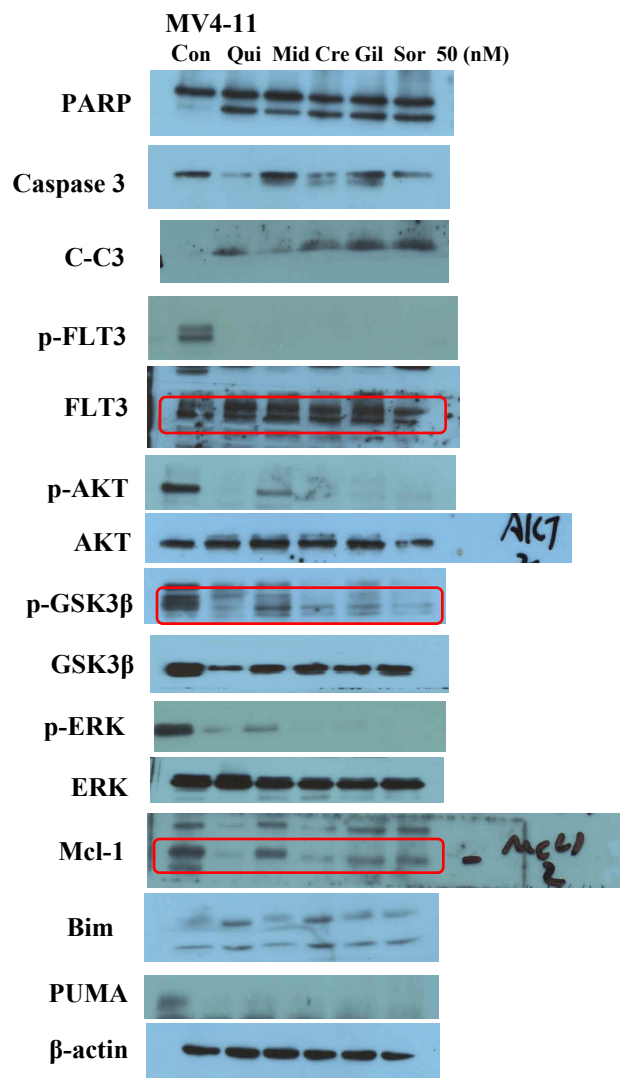


Fig.2B

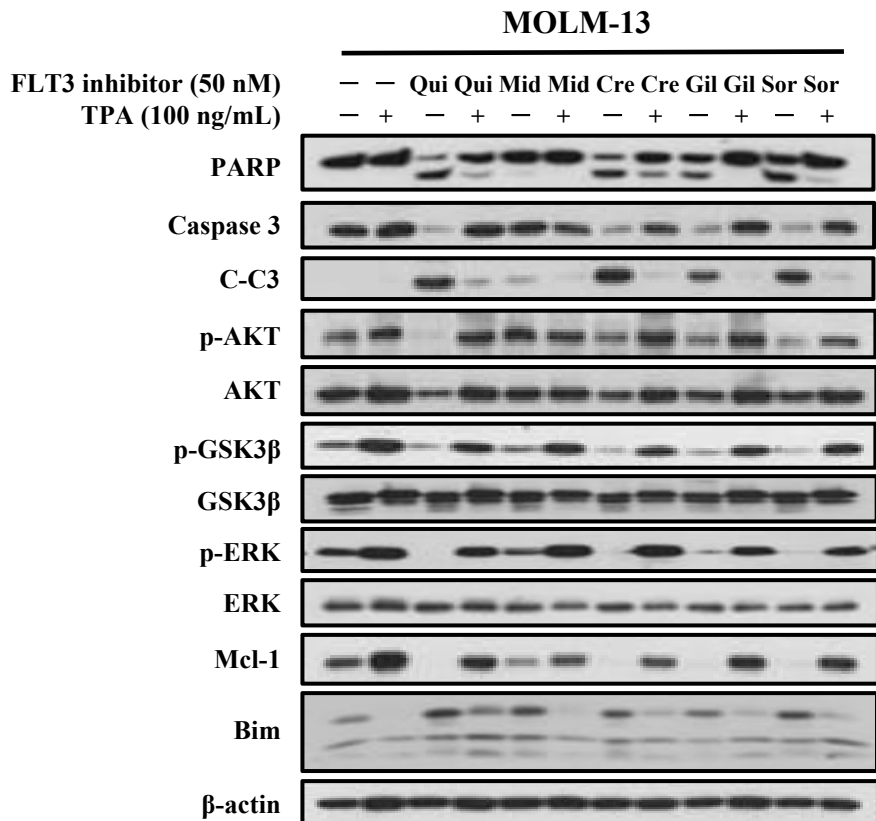
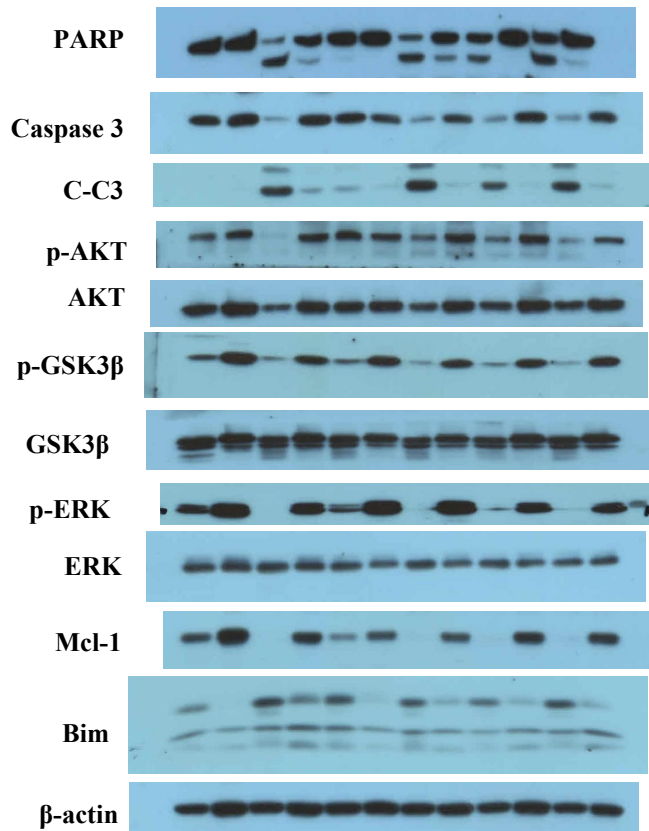


Fig.2D

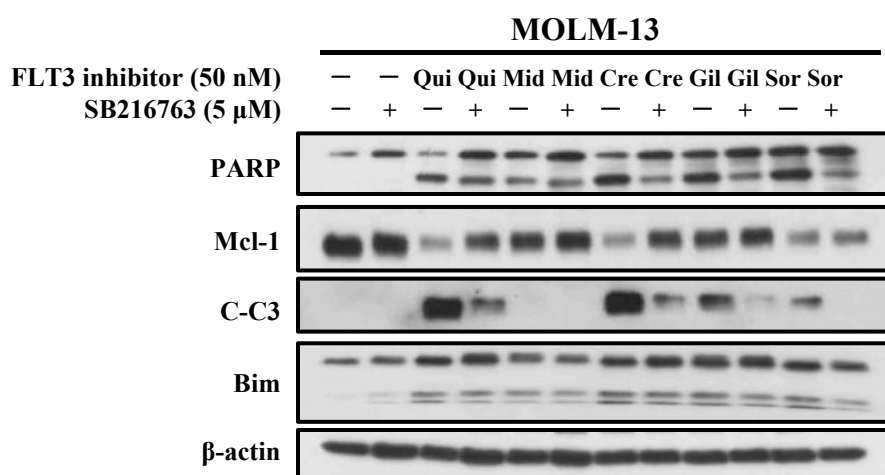
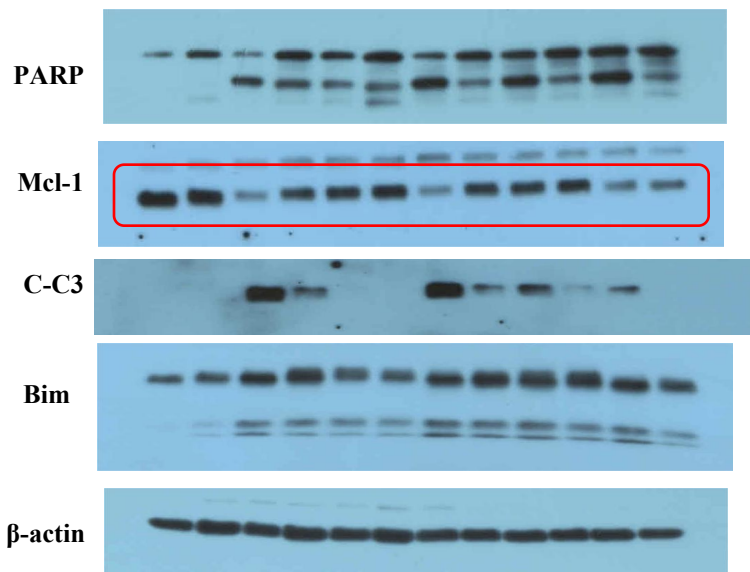


Fig.2F

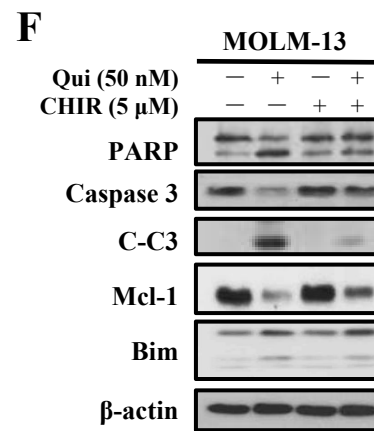
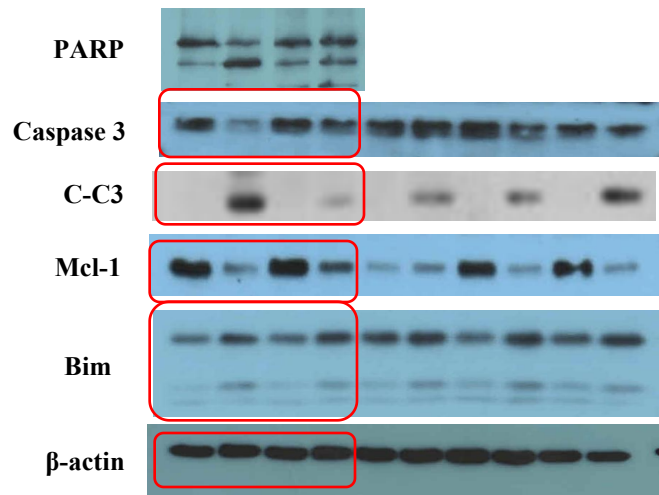
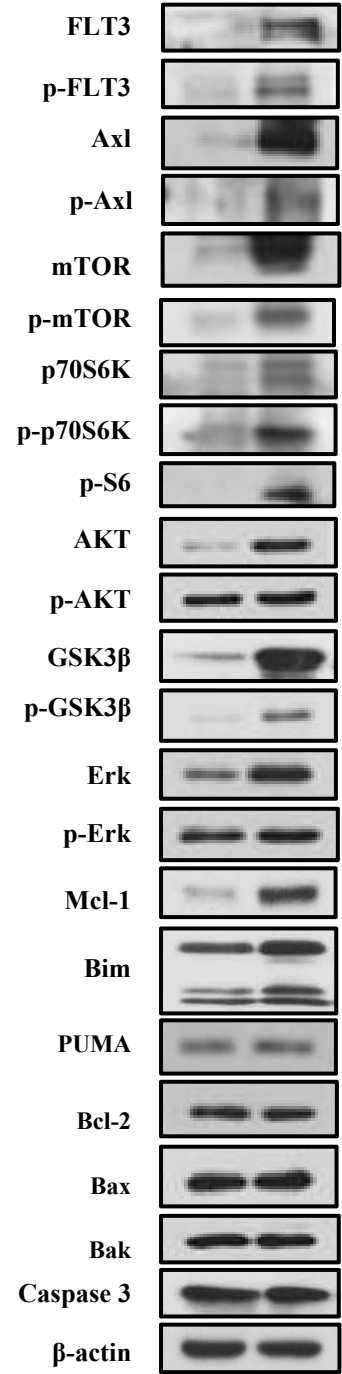
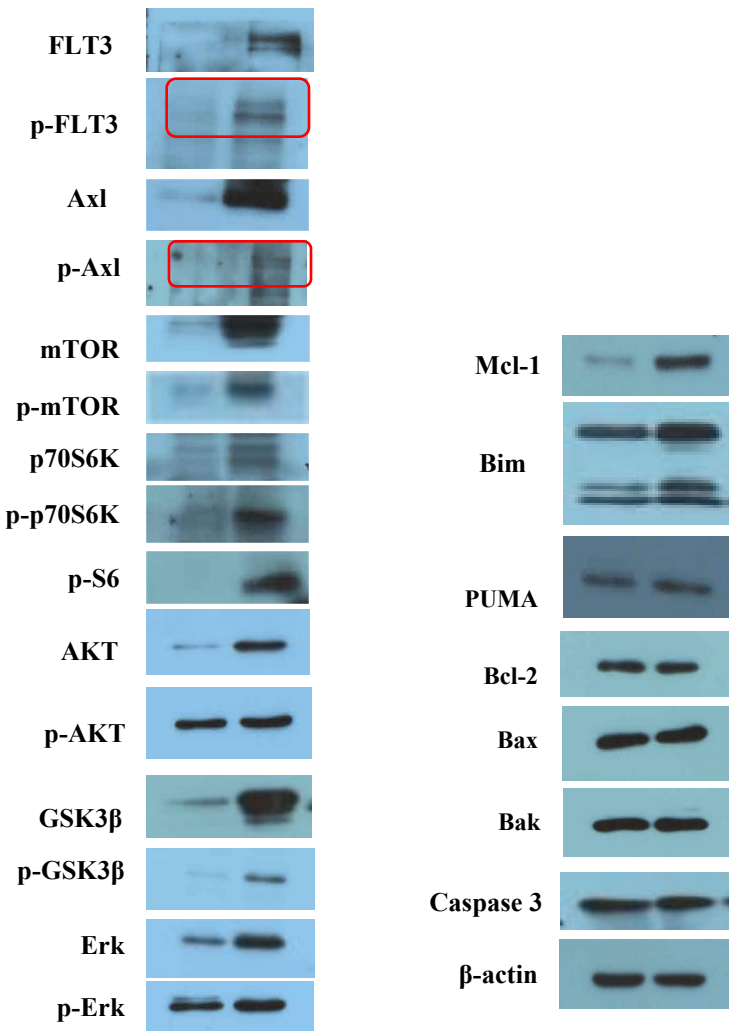


Fig. 3F



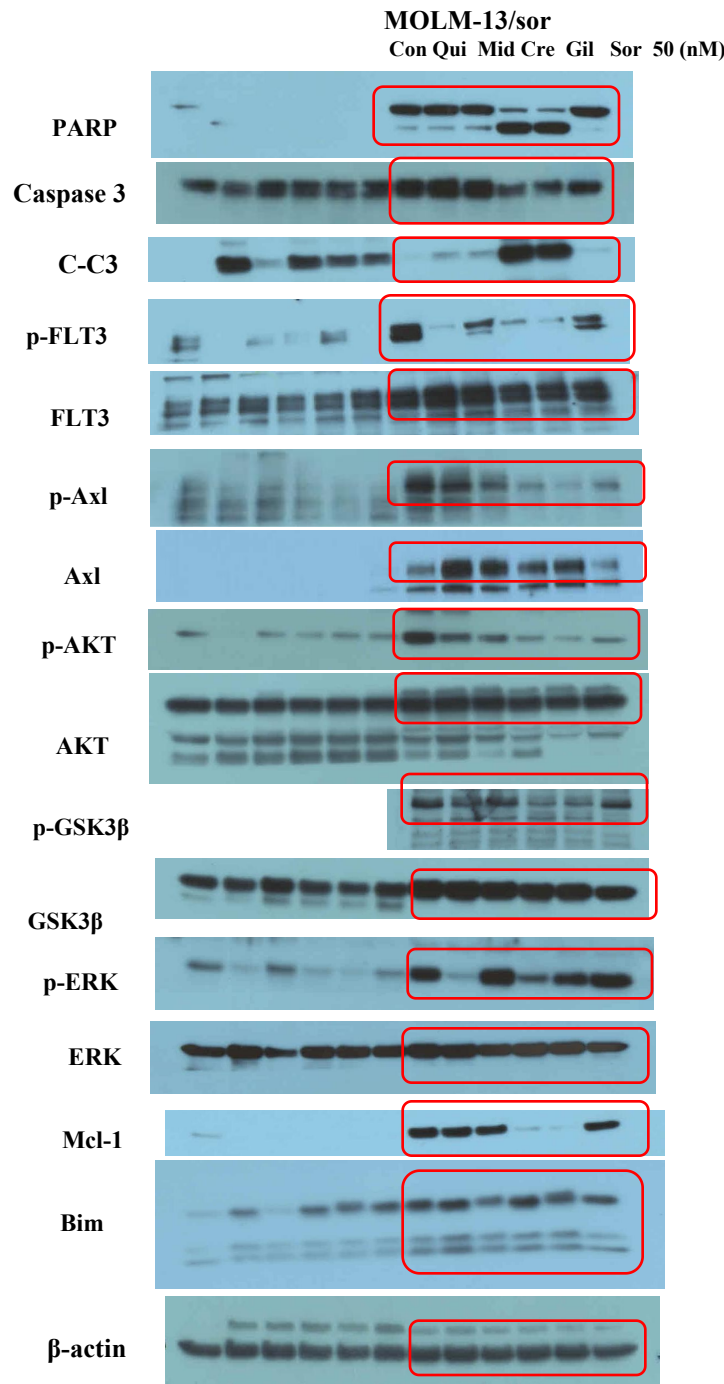


Fig.4C

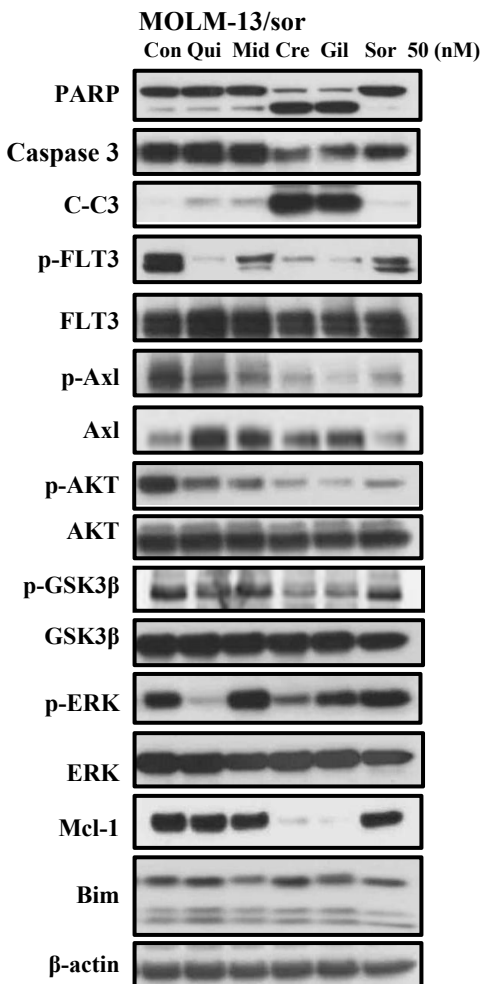


Fig. 4E

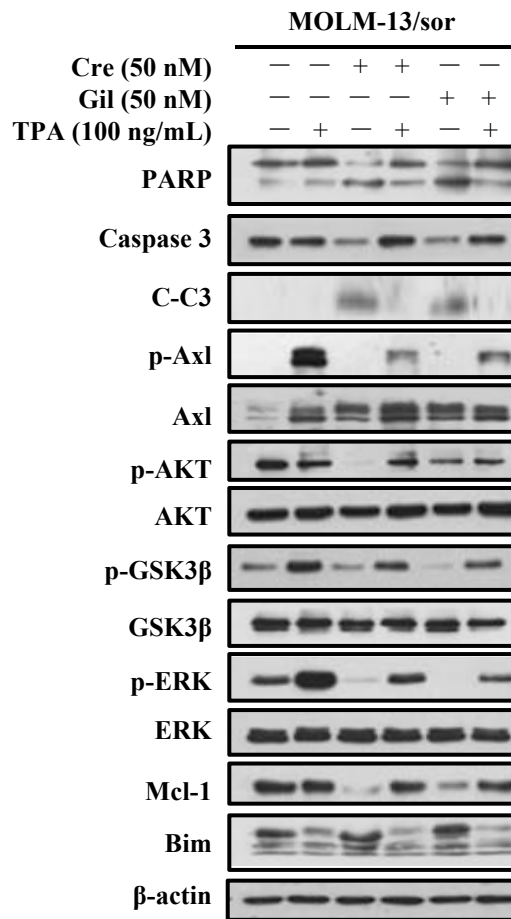
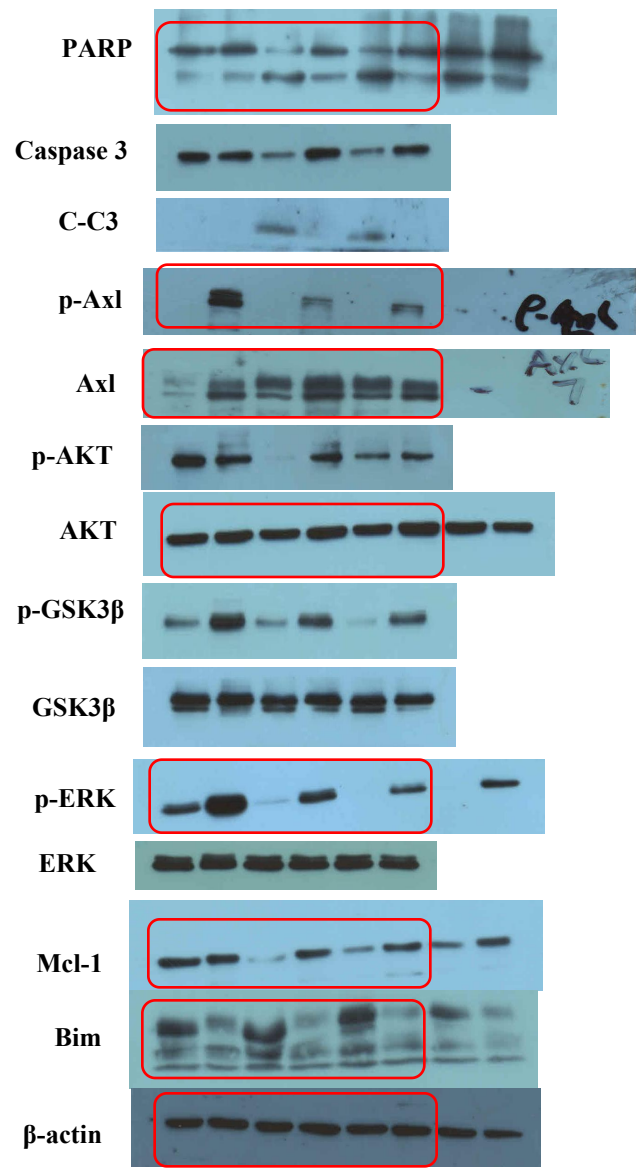
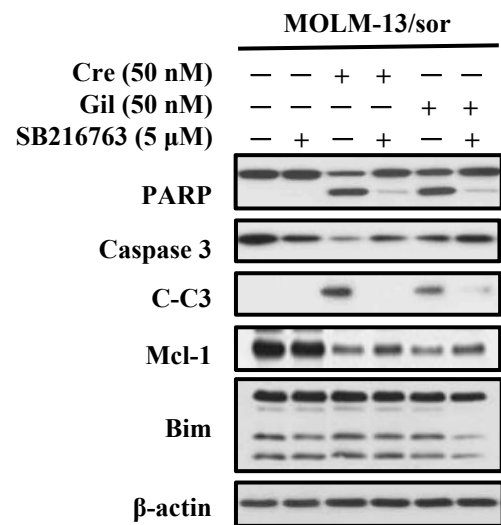
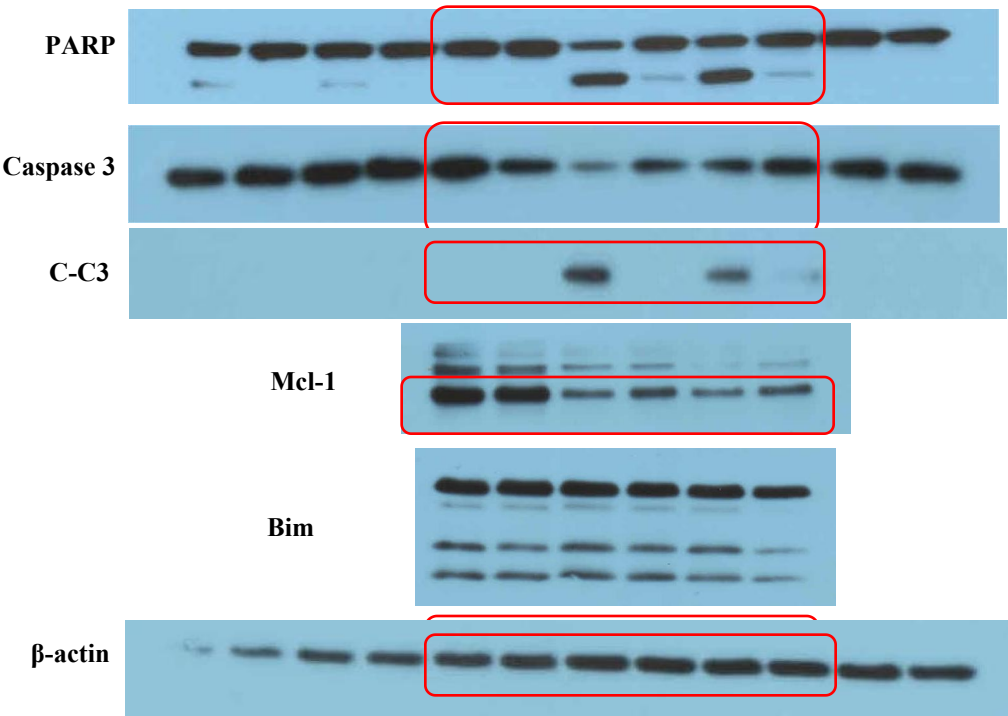


Fig. 4G



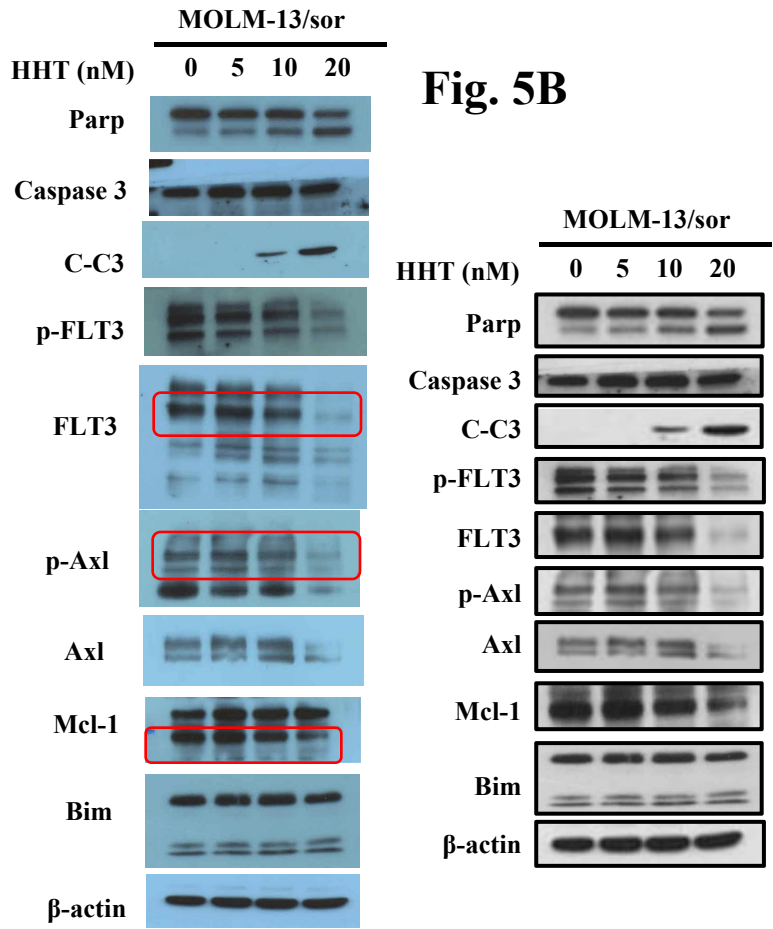


Fig. 5B

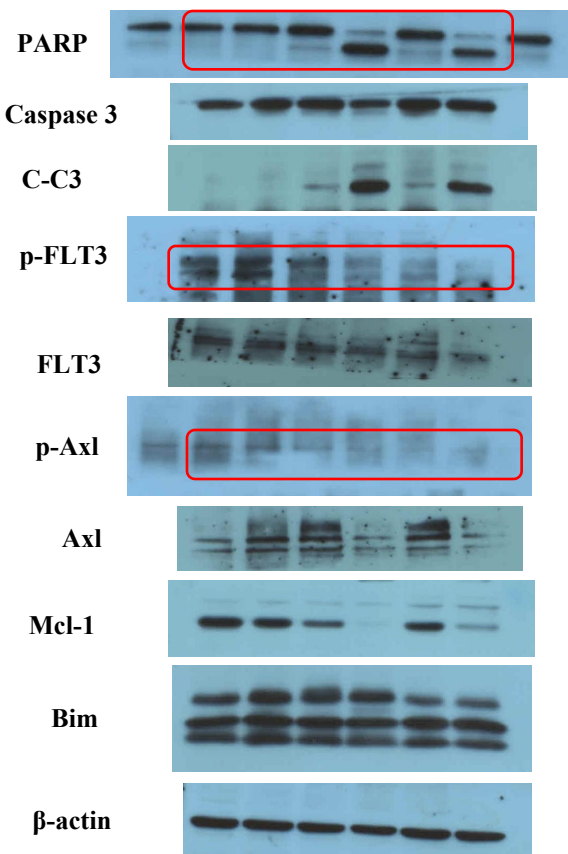


Fig. 5D

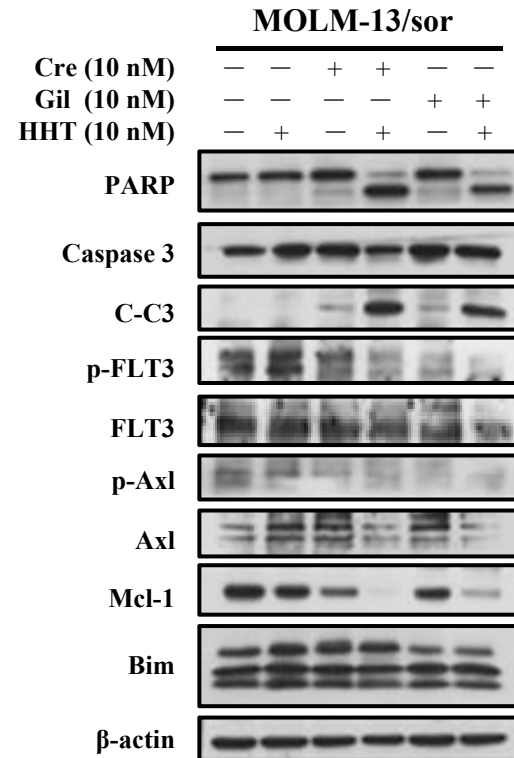


Fig. 6C

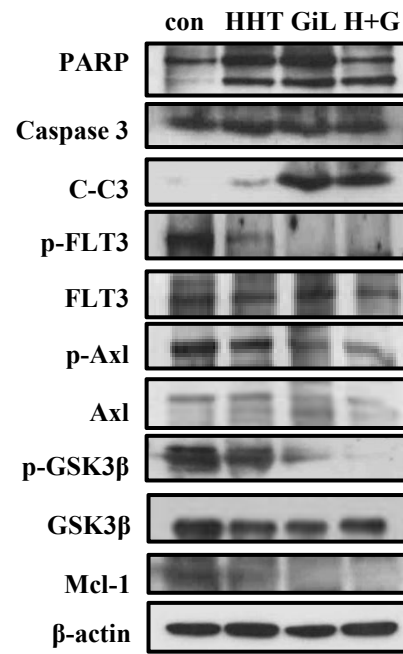
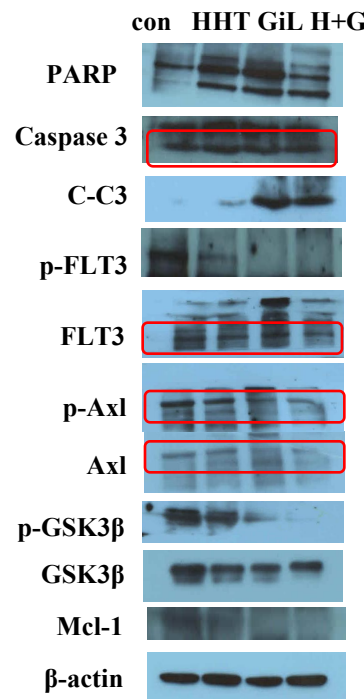


Fig. S1B

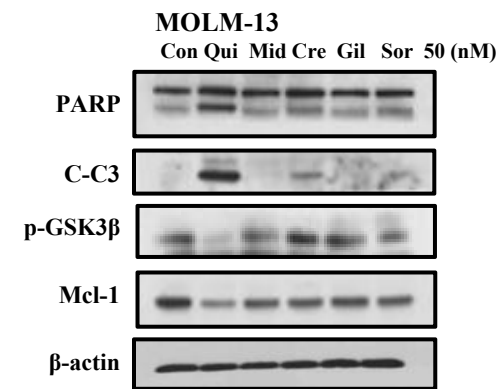
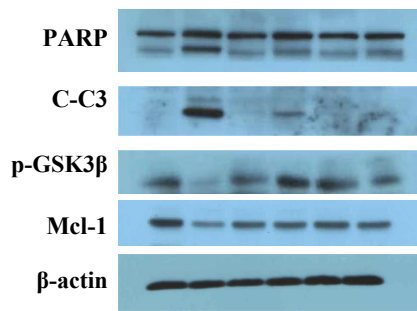
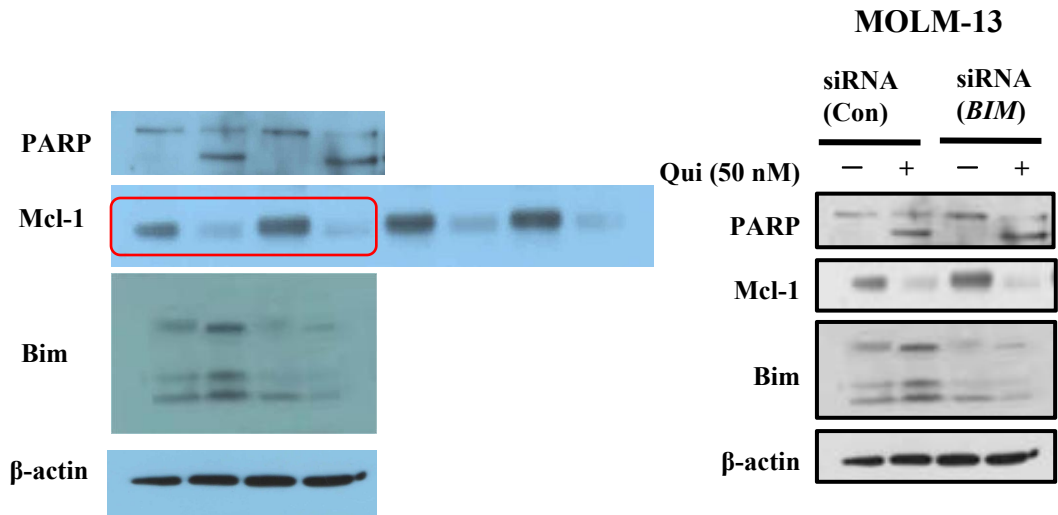


Fig. S2B



MOLM-13

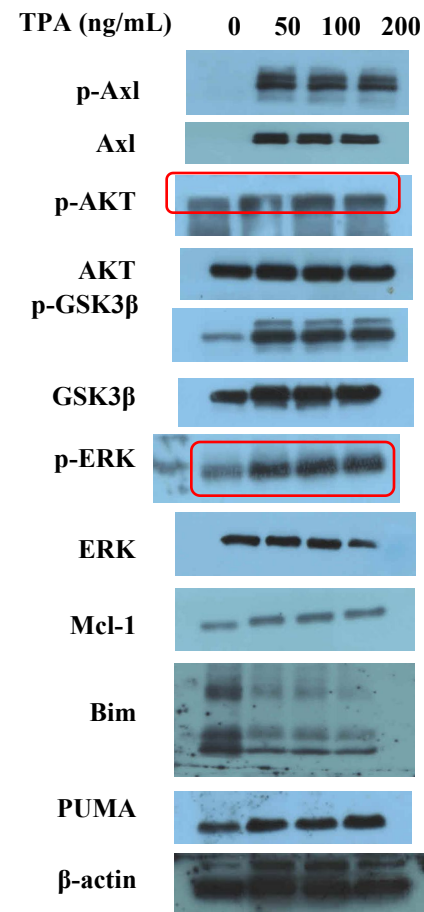
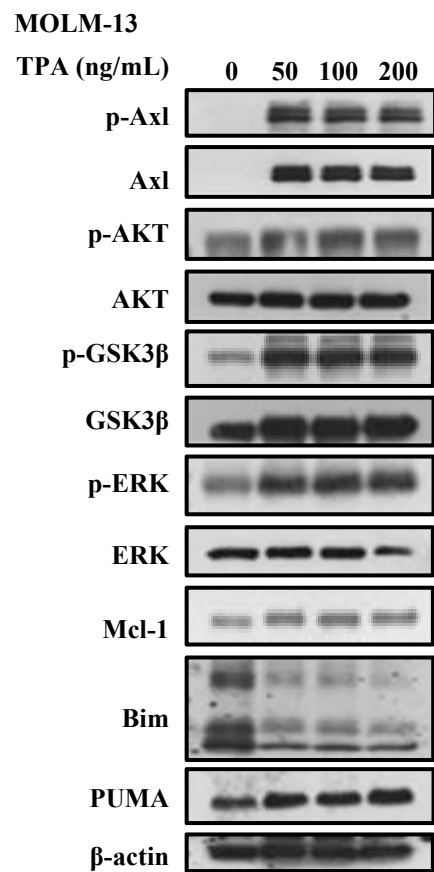


Fig. S3A



MOLM-13/sor

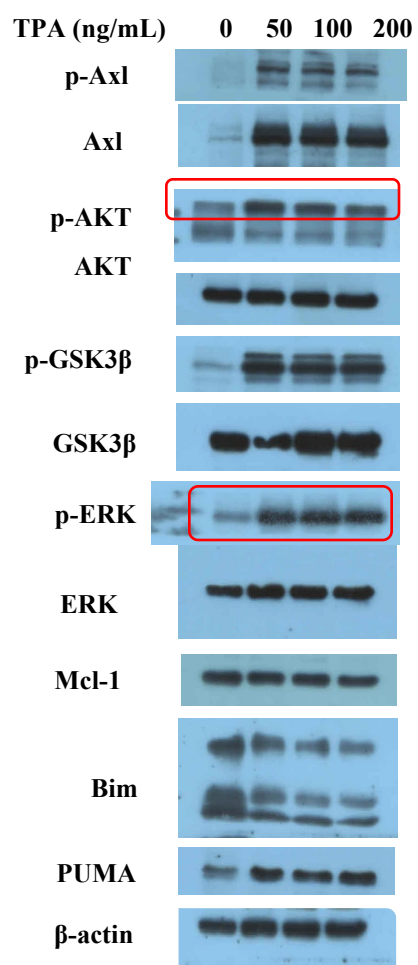


Fig. S3B

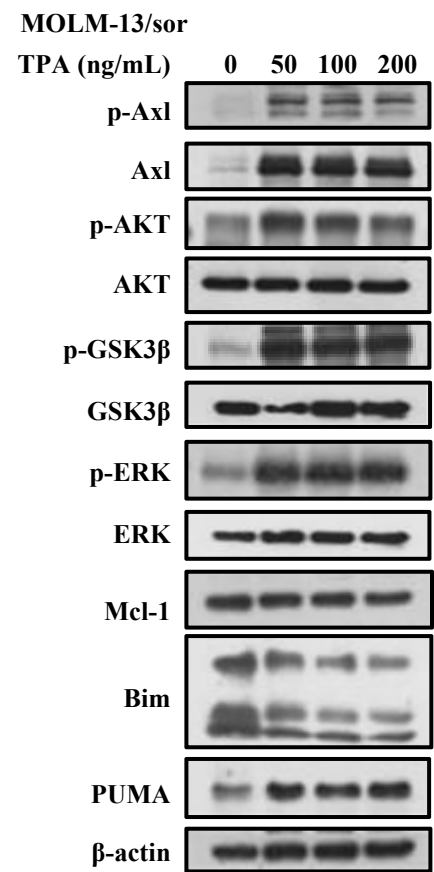


Fig.S4B

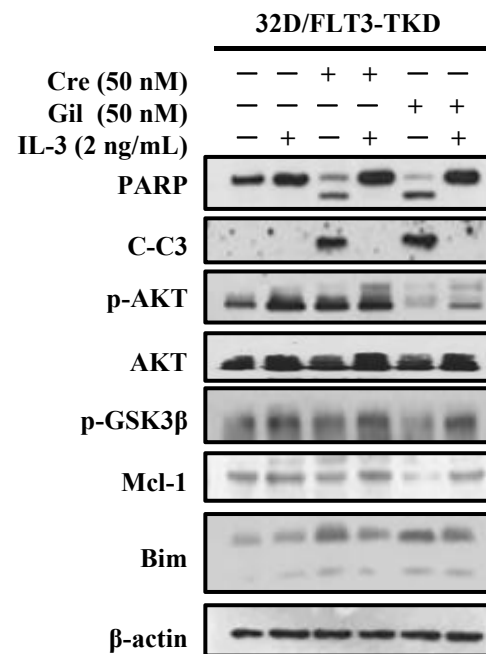
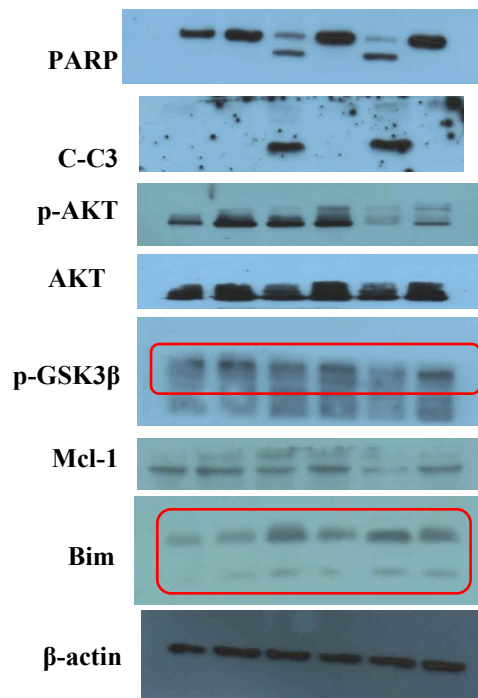


Fig. S5B

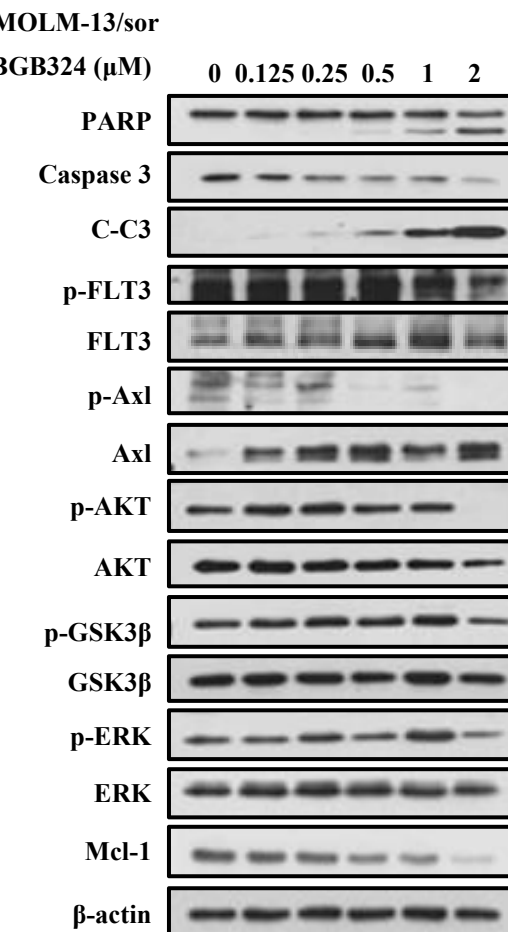
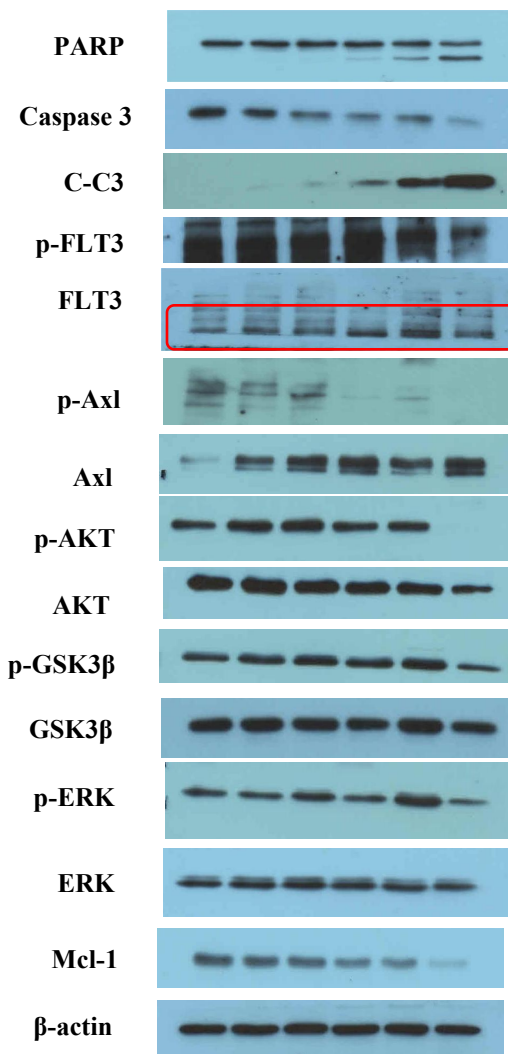


Fig. S5D

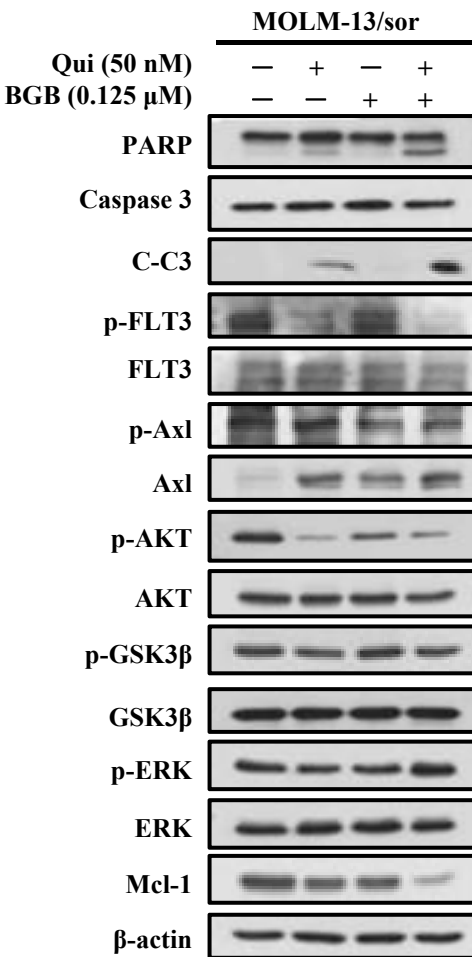
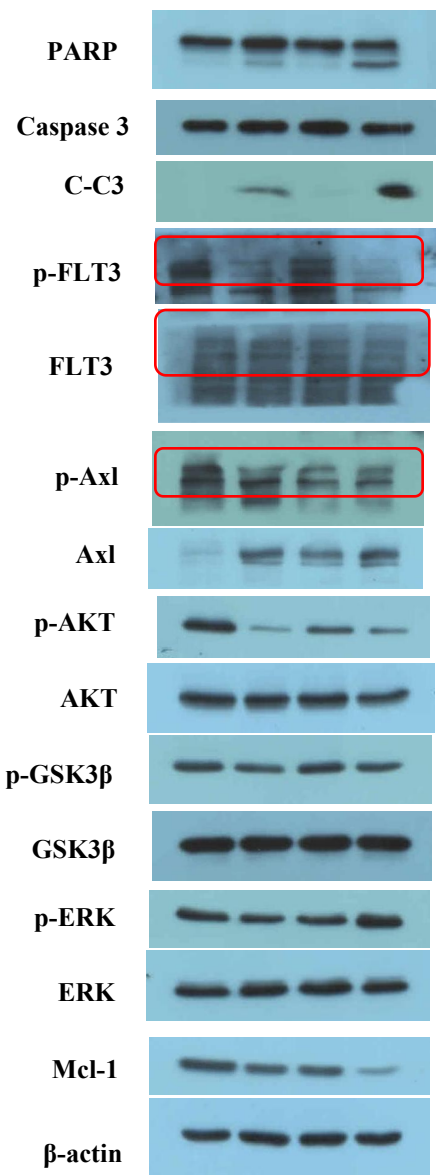


Fig. S5E

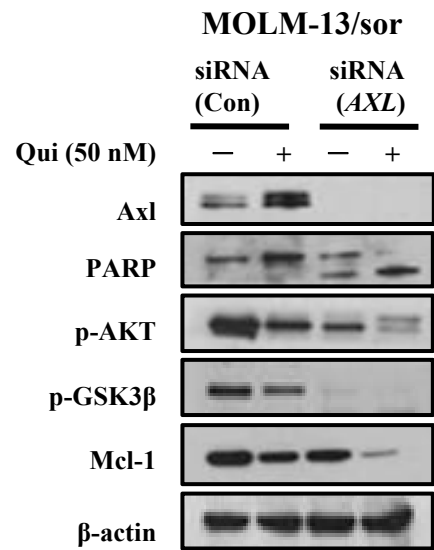
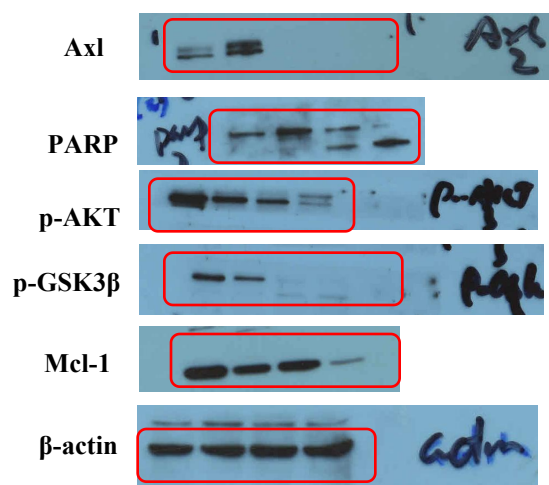


Fig. S6A

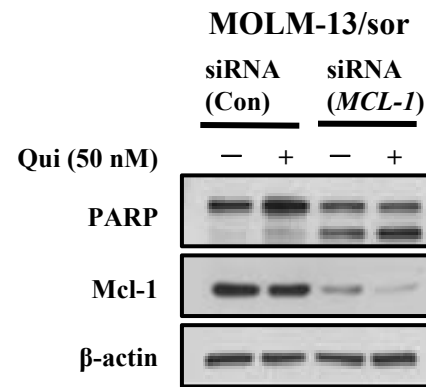
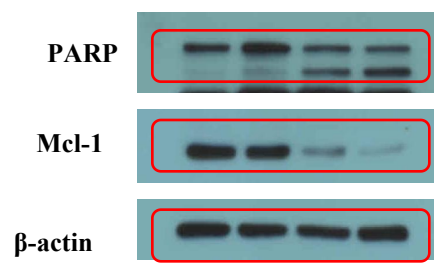


Fig. S6B

